

Reação de Biginelli em Condições Quimicamente Amigáveis e em Paralelo: uma Aula Prática de Síntese Orgânica para os Cursos de Química Medicinal, Química e Farmácia.

Biginelli Reaction under Chemically Friendly and in Parallel Conditions: a Practical Class of Organic Synthesis for Medicinal Chemistry, Chemistry and Pharmacy Courses

Rômulo Faria Santos Canto,^{a,*} Itamar Luís Gonçalves,^{b,c} Mário Alf da Rosa,^a

(<https://orcid.org/0000-0001-7321-450X>) Vera Lucia Eifler-Lima^b (<https://orcid.org/0000-0002-7656-9477>)

^a *Universidade Federal de Ciências da Saúde de Porto Alegre, Laboratório de Química Medicinal de Compostos de Selênio, CEP 90050-170, Porto Alegre-RS, Brasil*

^b *Universidade Federal do Rio Grande do Sul, Faculdade de Farmácia, Programa de Pós-Graduação em Ciências Farmacêuticas, Laboratório de Síntese Orgânica Medicinal, Avenida Ipiranga - 2752, CEP 90610-000, Porto Alegre-RS, Brasil*

^c *Universidade Regional Integrada do Alto Uruguai e das Missões, Faculdade de Medicina, Avenida Sete de Setembro - 1621, CEP 99709-910, Erechim-RS, Brasil*

*rfscanto@gmail.com

MATERIAL SUPLEMENTAR

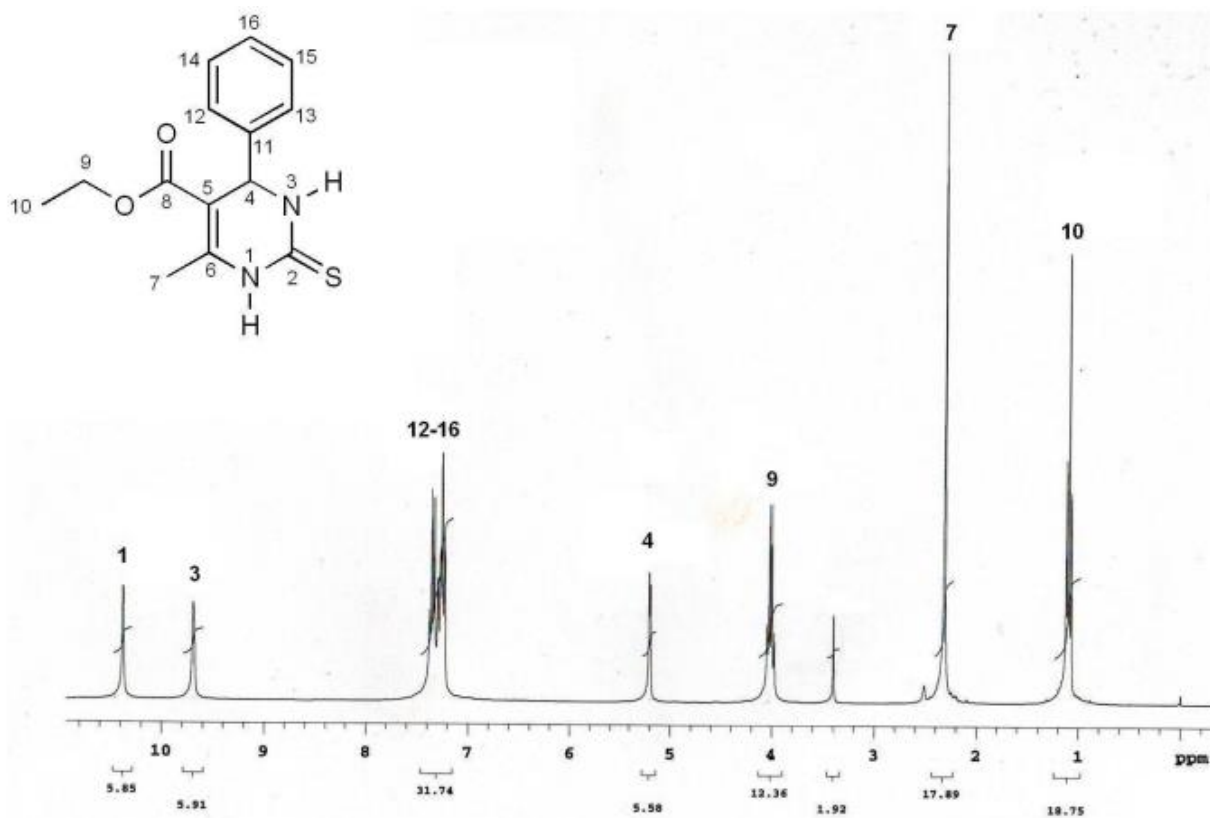


Figura S1 - Espectro de ¹H RMN (300 MHz, DMSO-d₆) do composto 4a

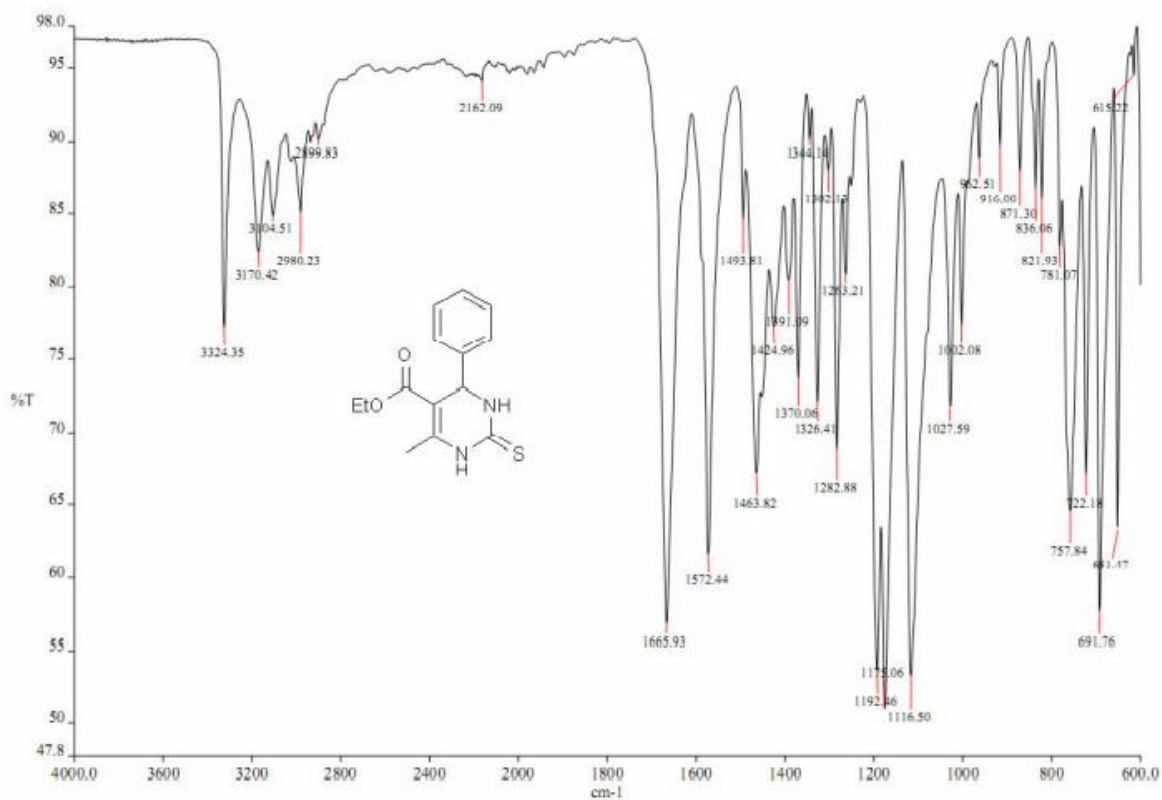


Figura S2 - Espectro no infravermelho (ATR) do composto 4a



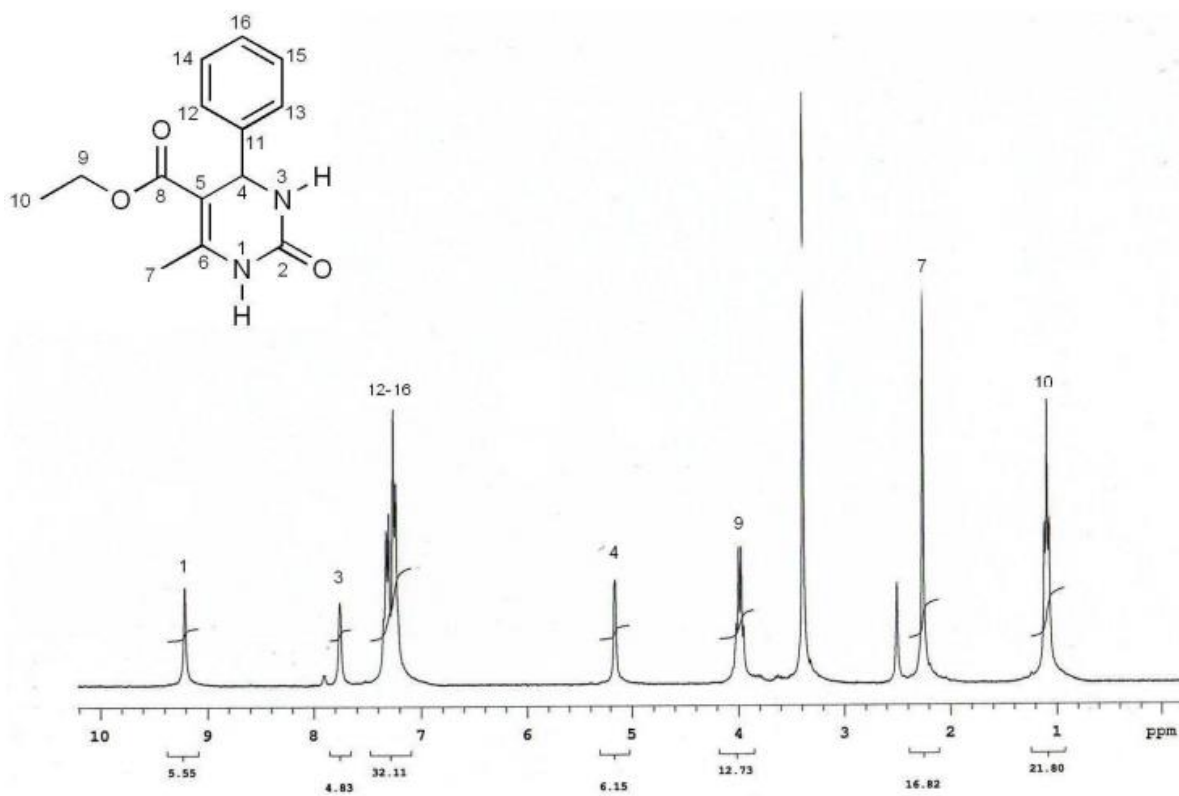


Figura S3 - Espectro de ¹H RMN (300 MHz, DMSO-d₆) do composto **4b**

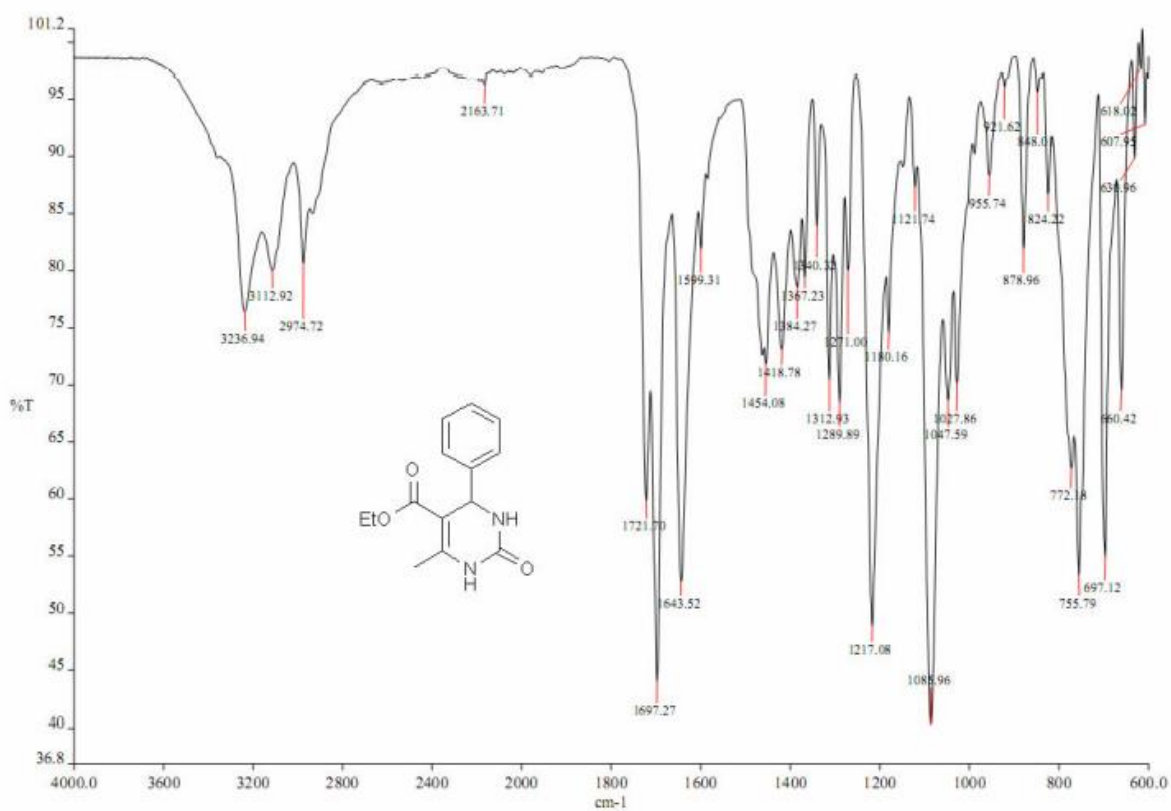


Figura S4 - Espectro no infravermelho (ATR) do composto **4b**



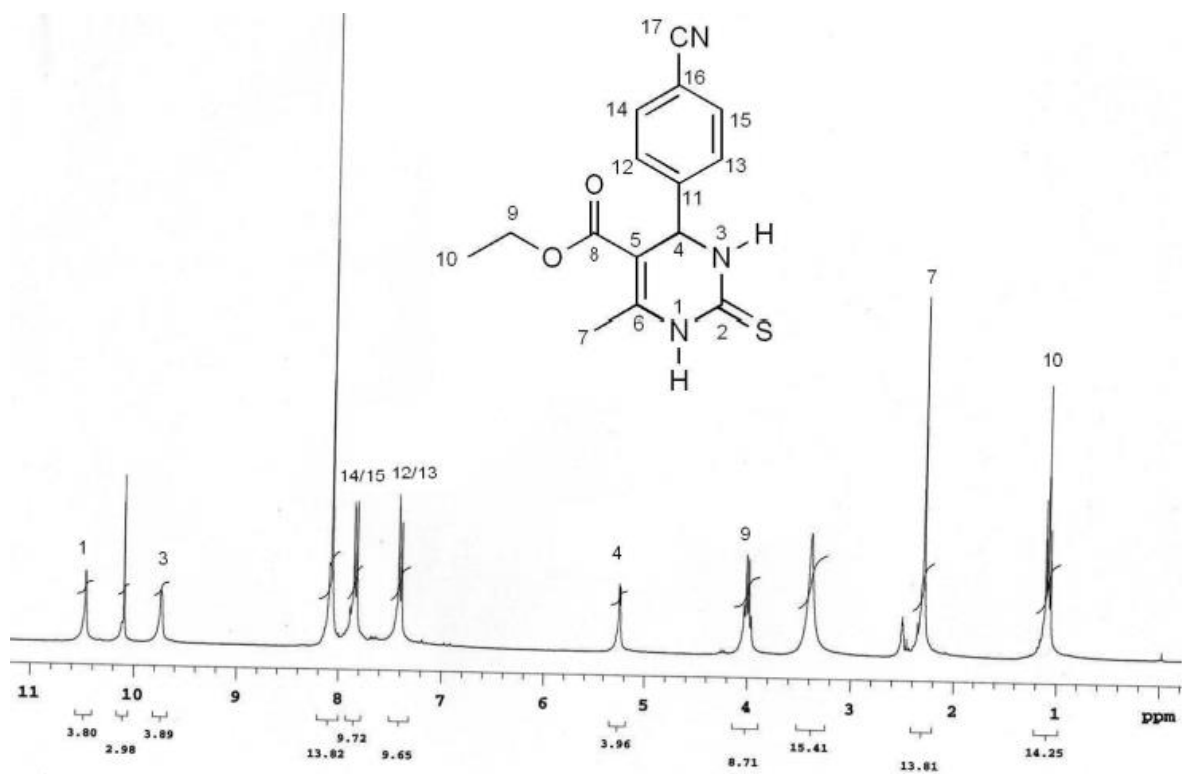


Figura S5 - Espectro de ¹H RMN (300 MHz, DMSO-d₆) do composto **4c**

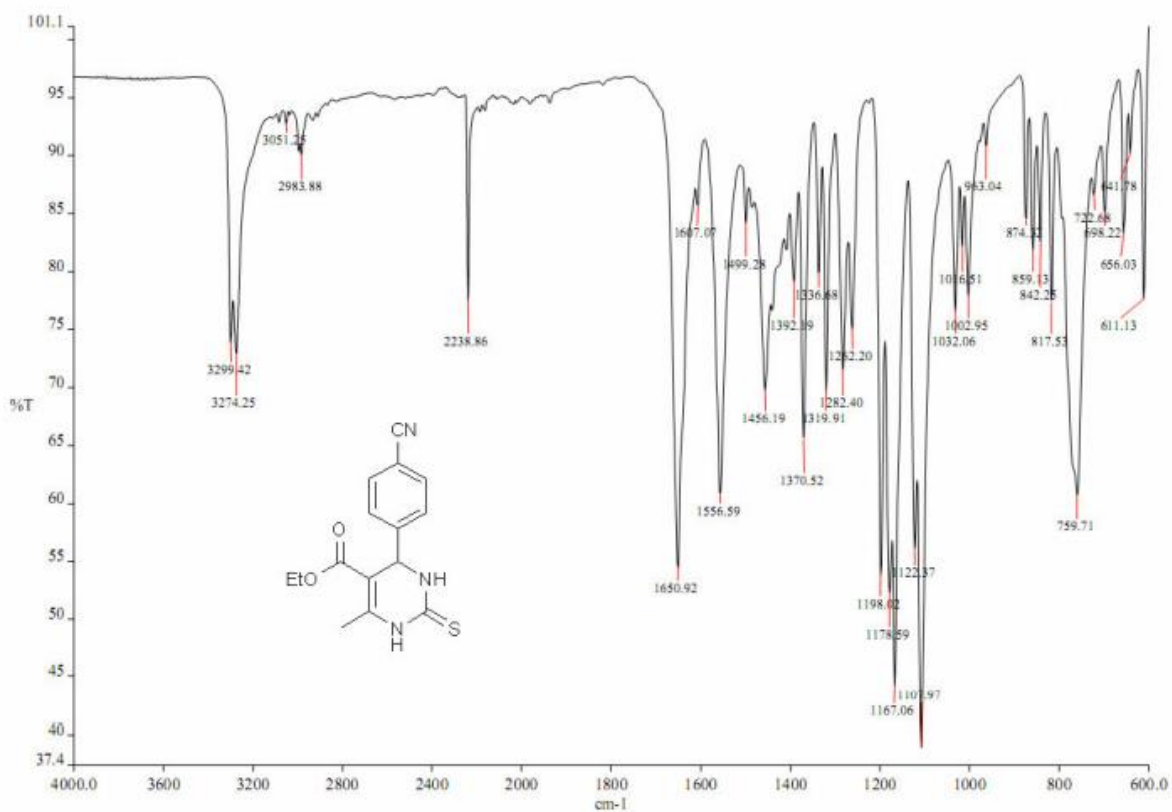


Figura S6 - Espectro no infravermelho (ATR) do composto **4c**



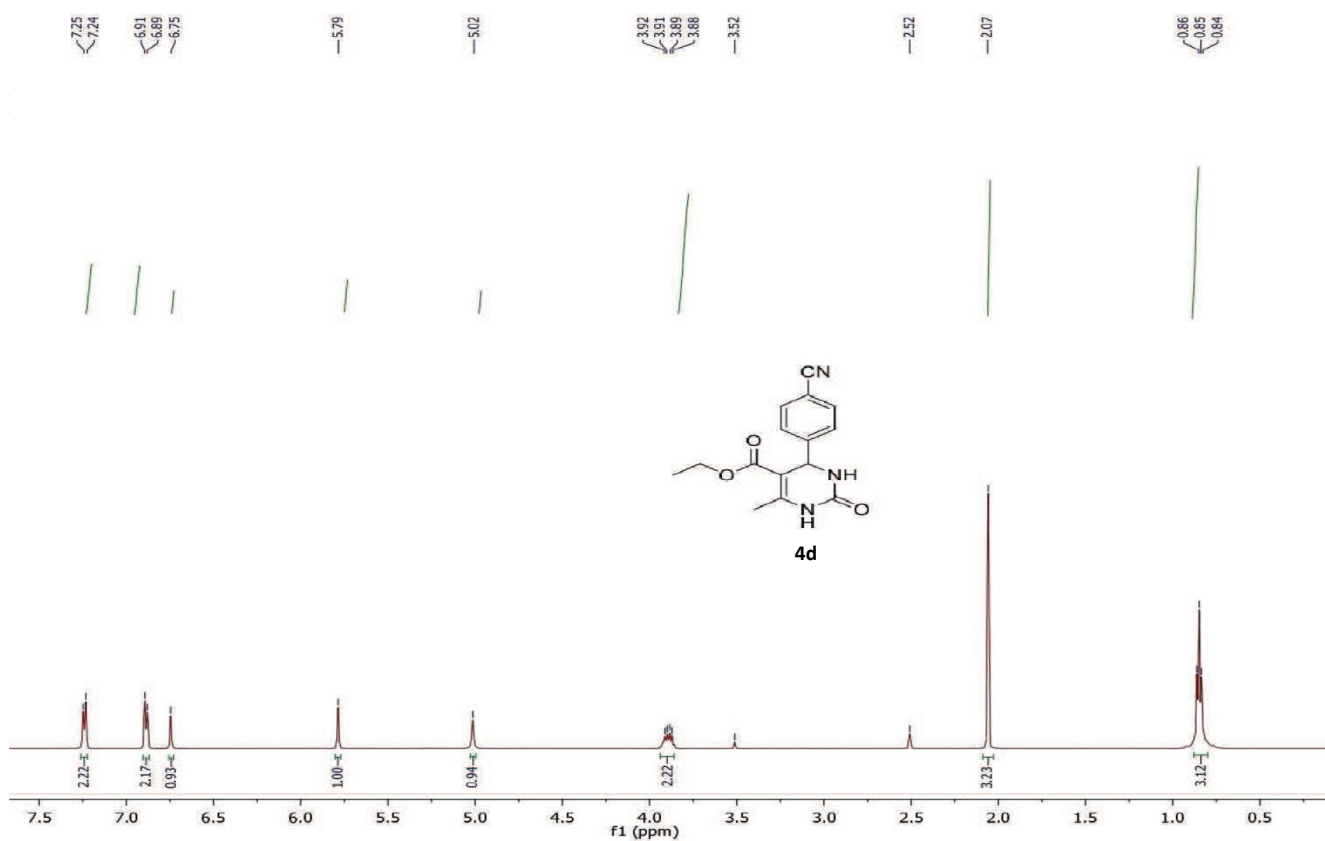


Figura S7 - Espectro de ^1H RMN (300 MHz, DMSO-d_6) do composto **4d**

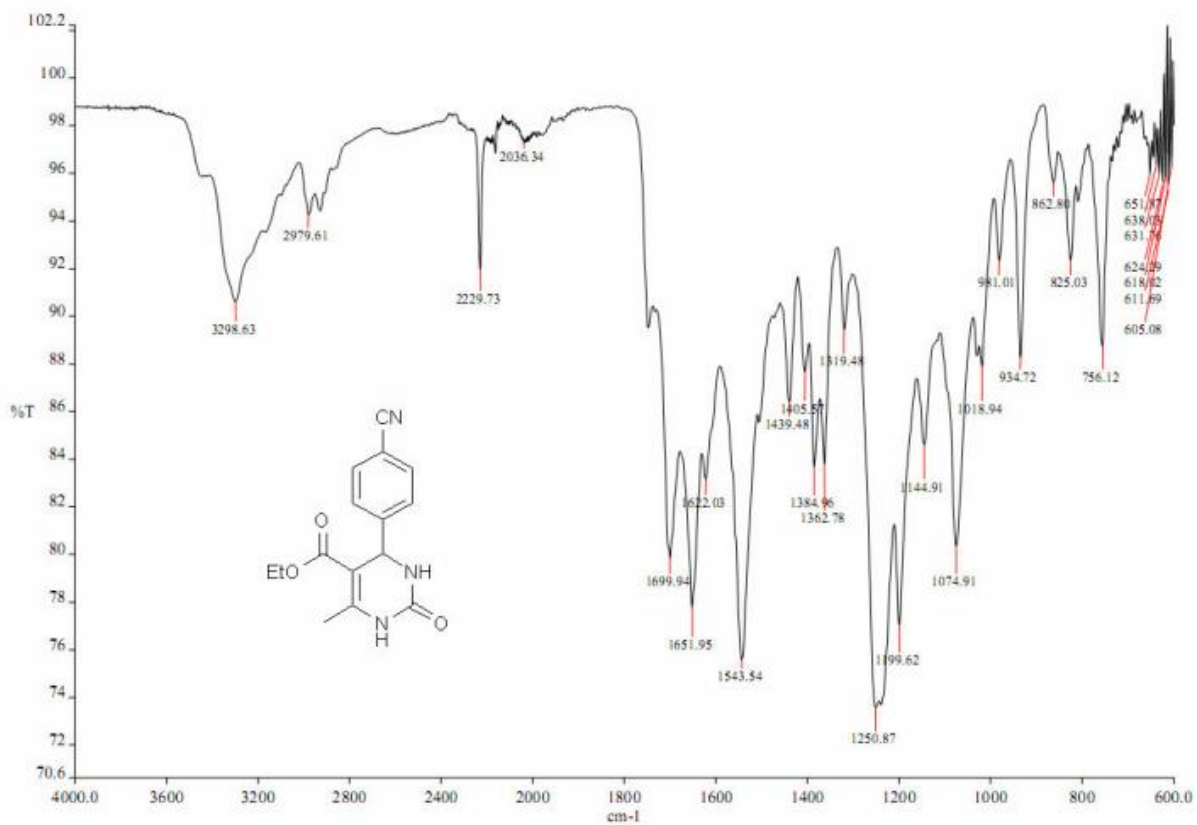


Figura S8 - Espectro no infravermelho (ATR) do composto **4d**



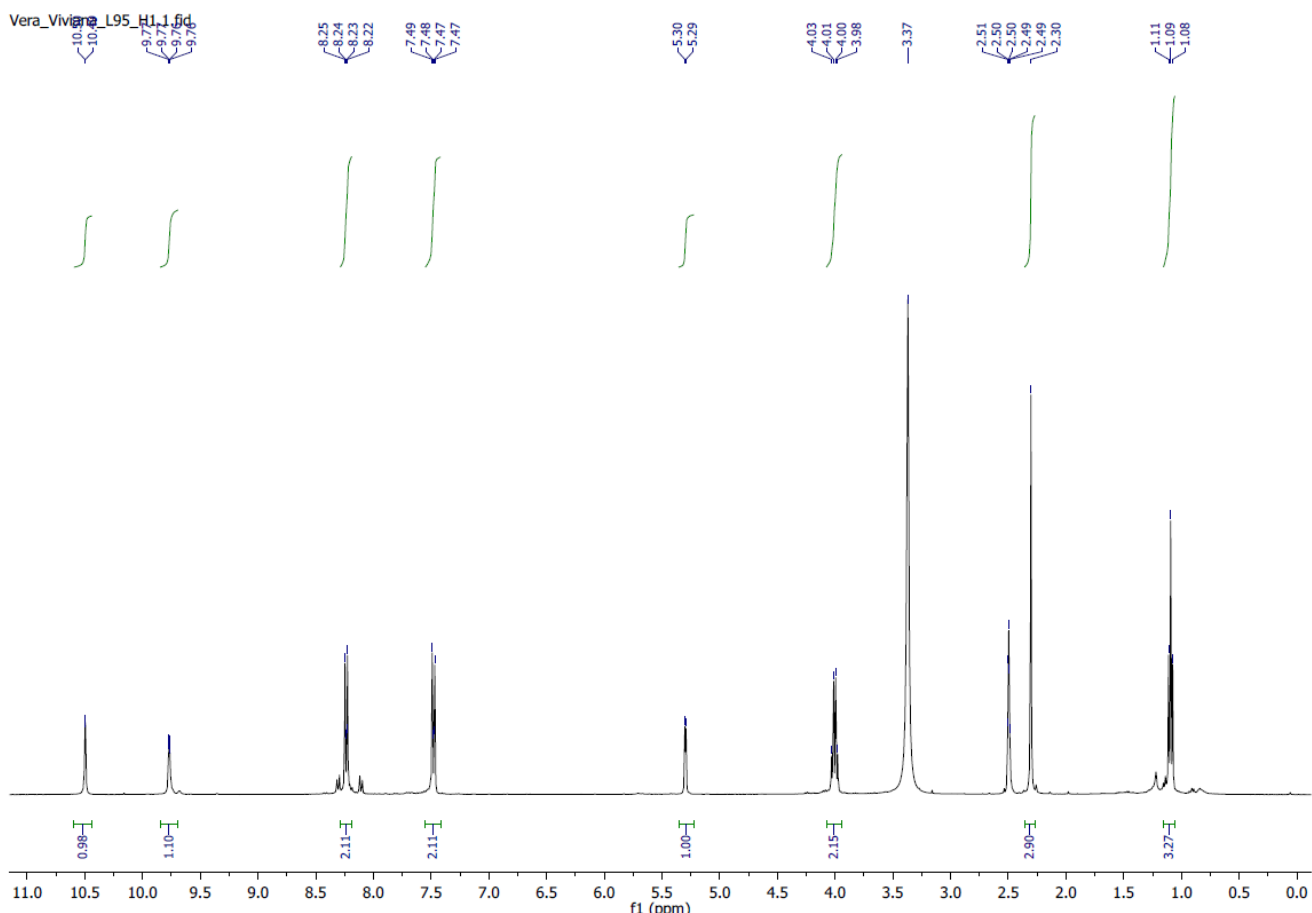


Figura S9 - Espectro de H^1 RMN (300 MHz, $DMSO-d_6$) do composto **4e**

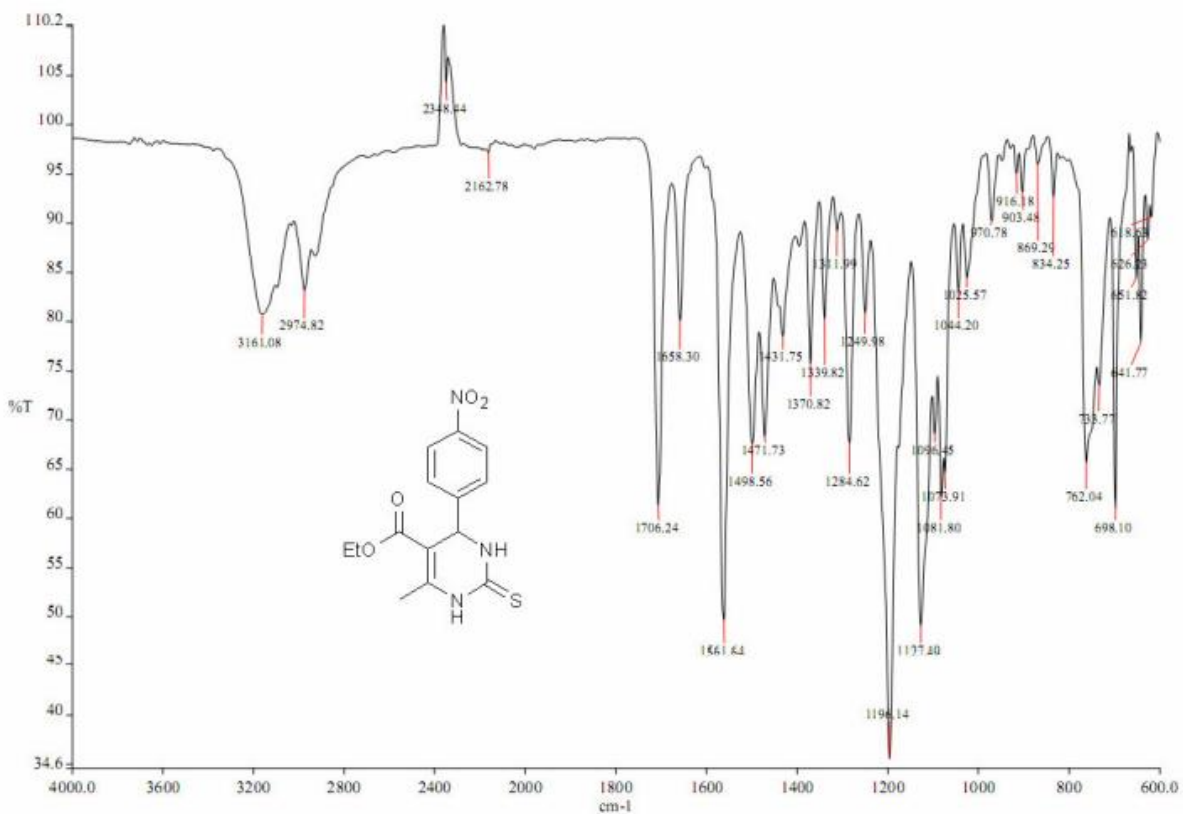


Figura S10 - Espectro no infravermelho (ATR) do composto **4e**



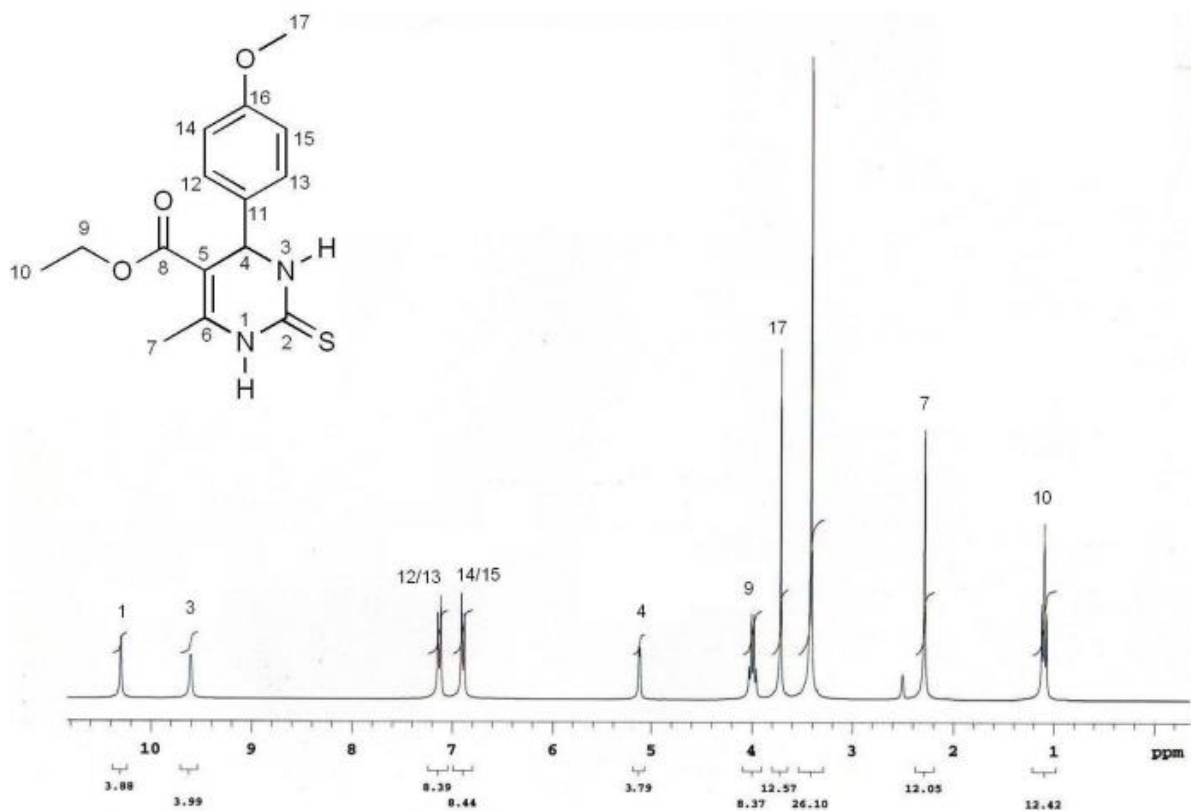


Figura S11 - Espectro de H¹ RMN (300 MHz, DMSO-d₆) do composto **4f**

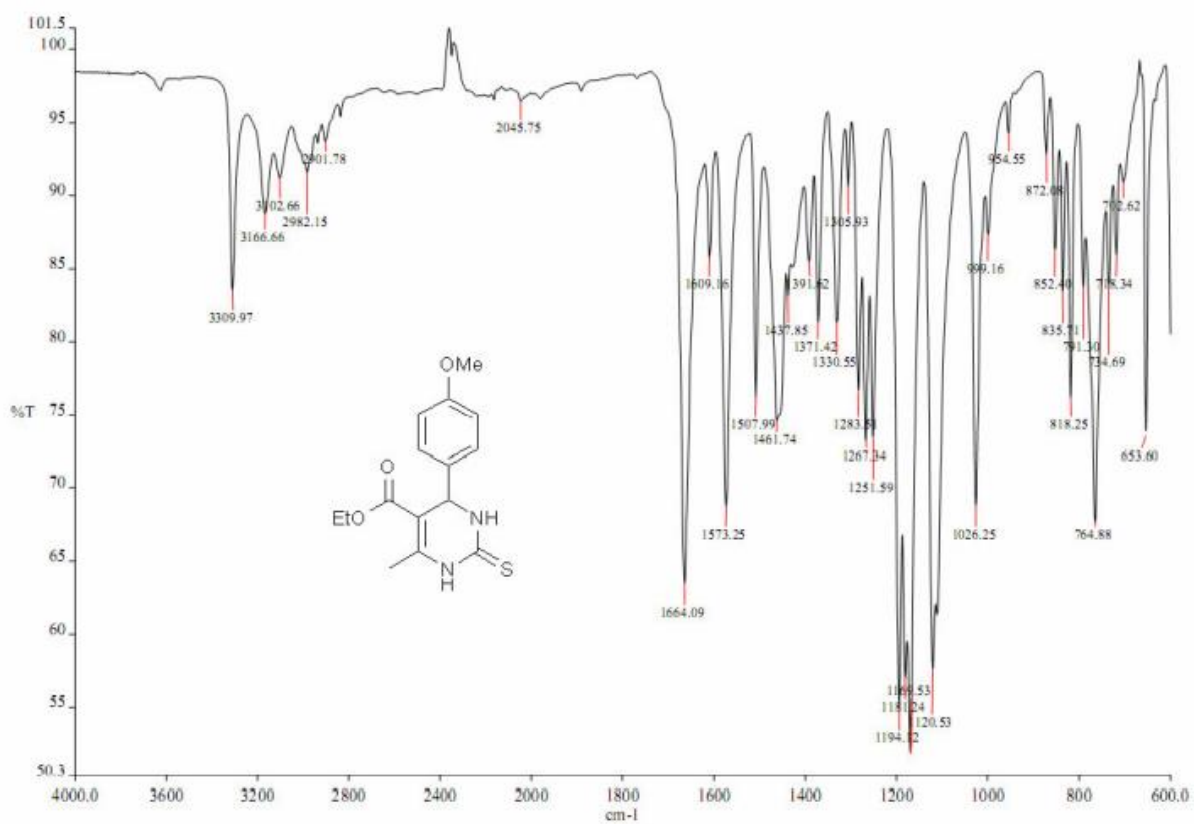


Figura S12 - Espectro no infravermelho (ATR) do composto **4f**



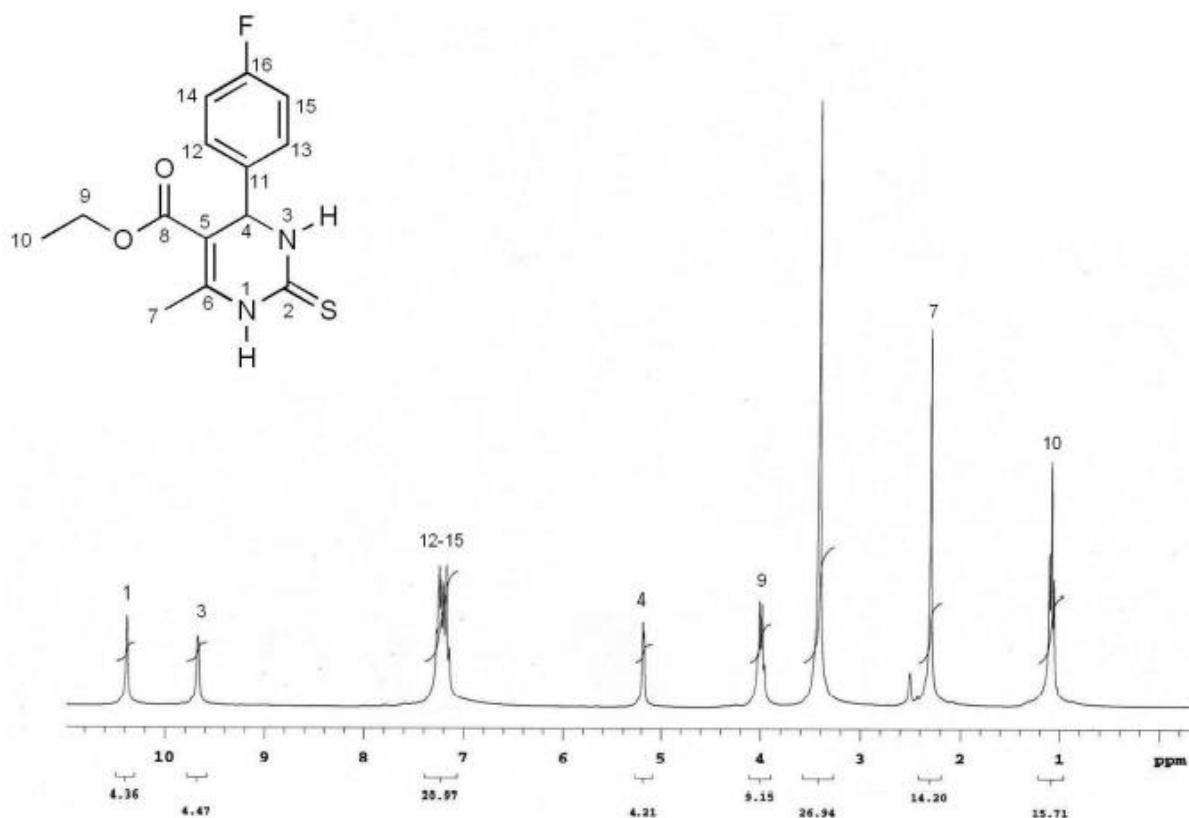


Figura S13 - Espectro de H¹ RMN (300 MHz, DMSO-d₆) do composto **4g**

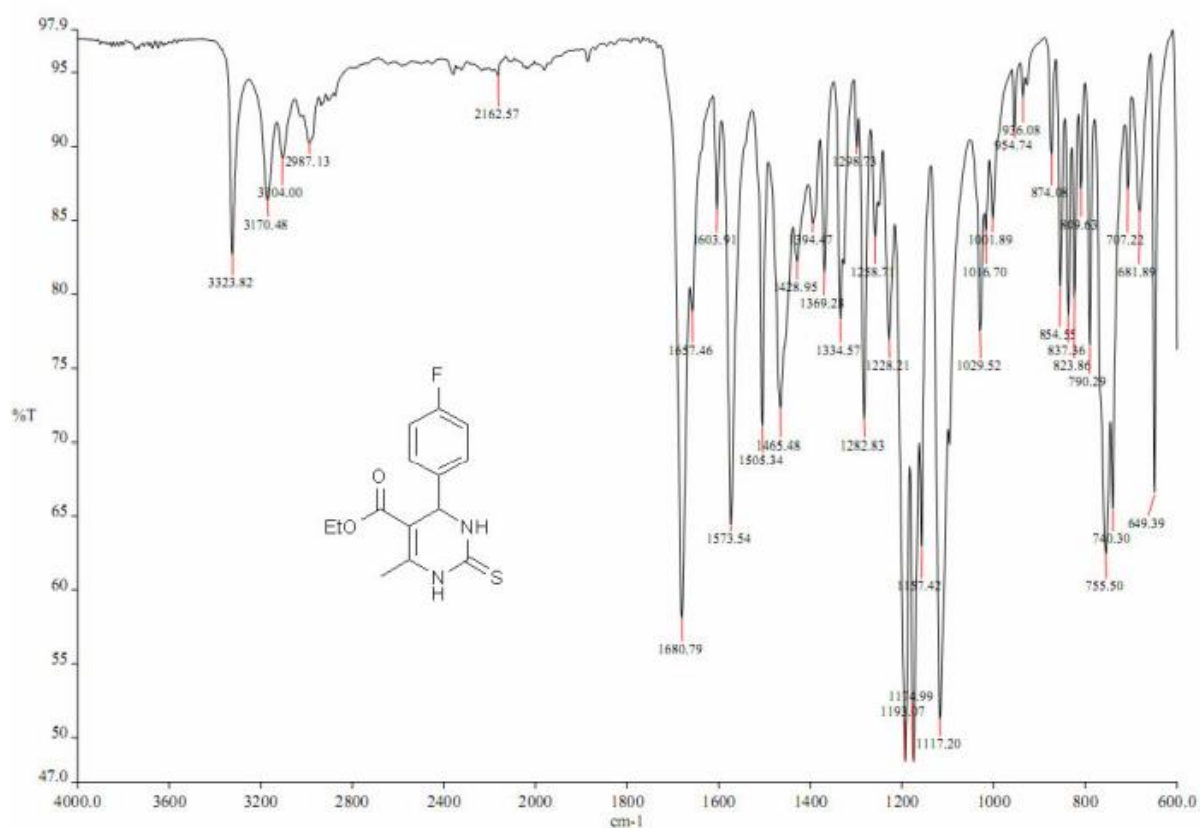


Figura S14 - Espectro no infravermelho (ATR) do composto **4g**



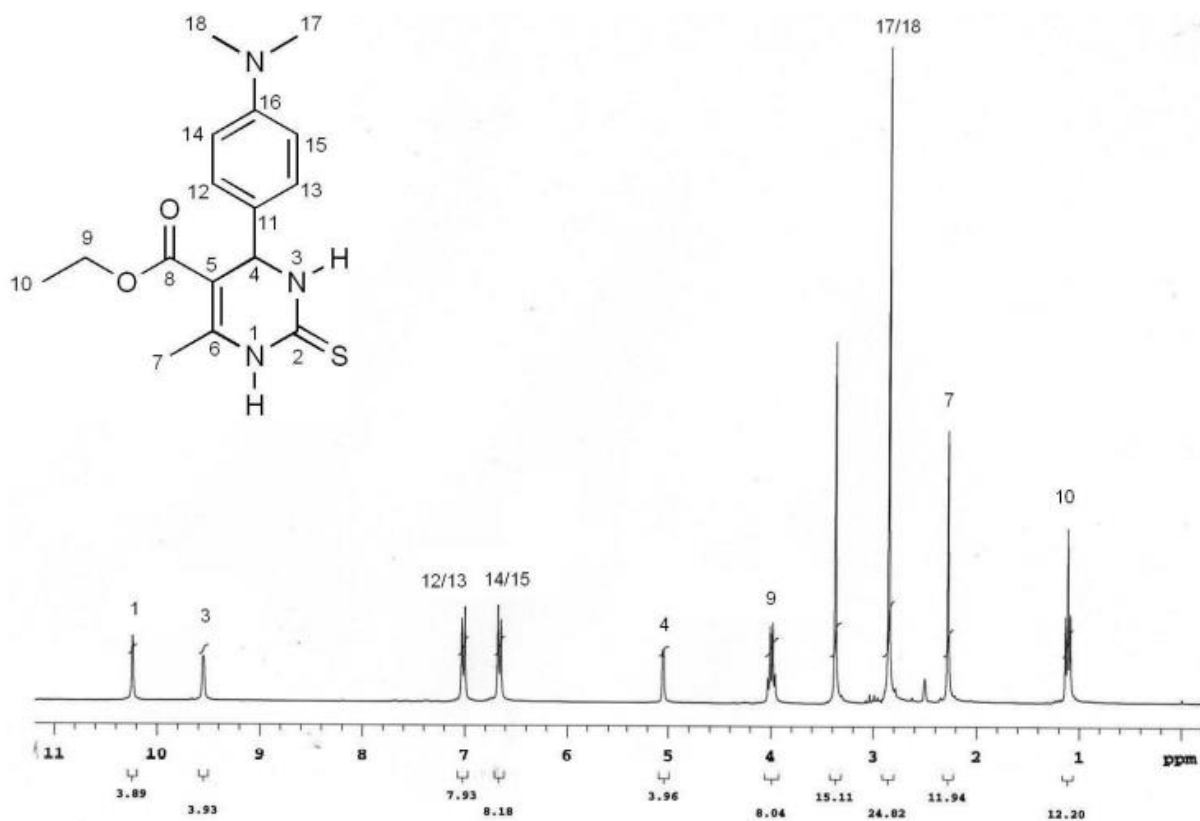


Figura S15 - Espectro de H¹ RMN (300 MHz, DMSO-d₆) do composto **4h**

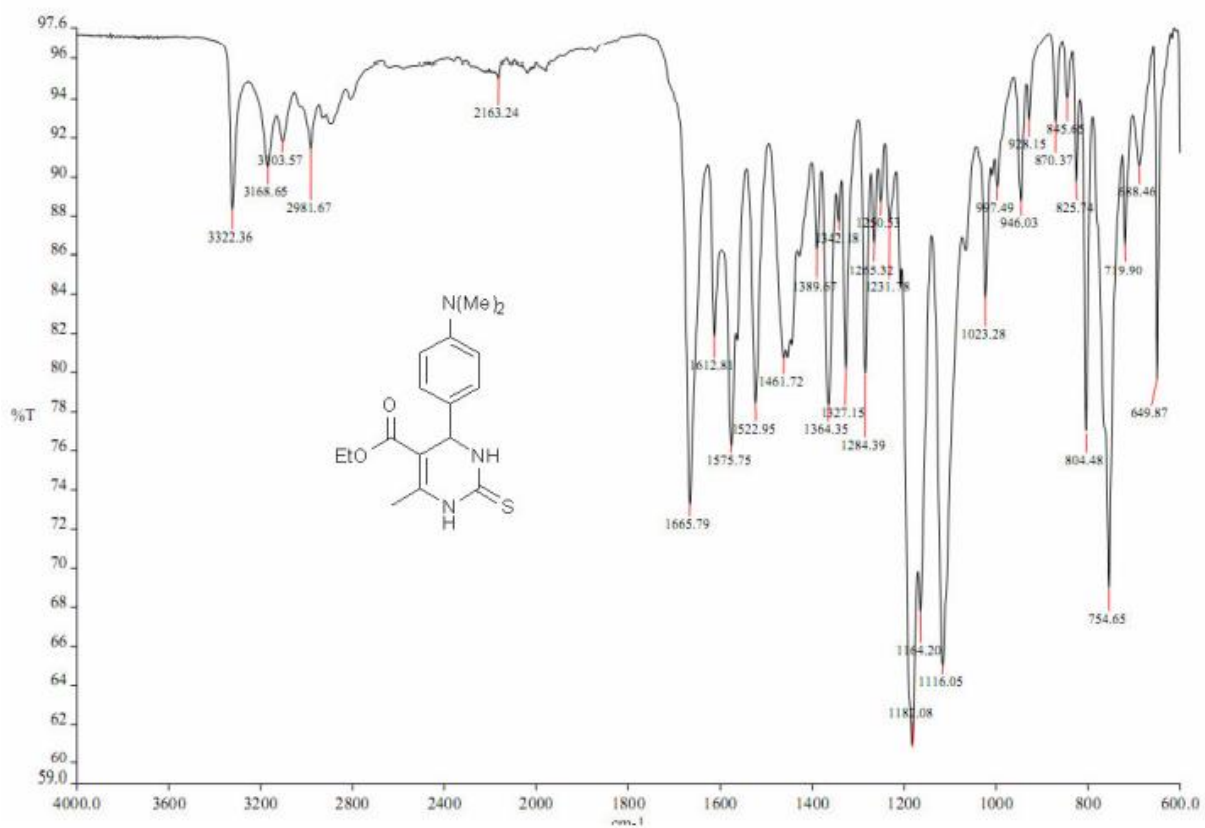


Figura S16 - Espectro de H¹ RMN (300 MHz, DMSO-d₆) do composto **4h**



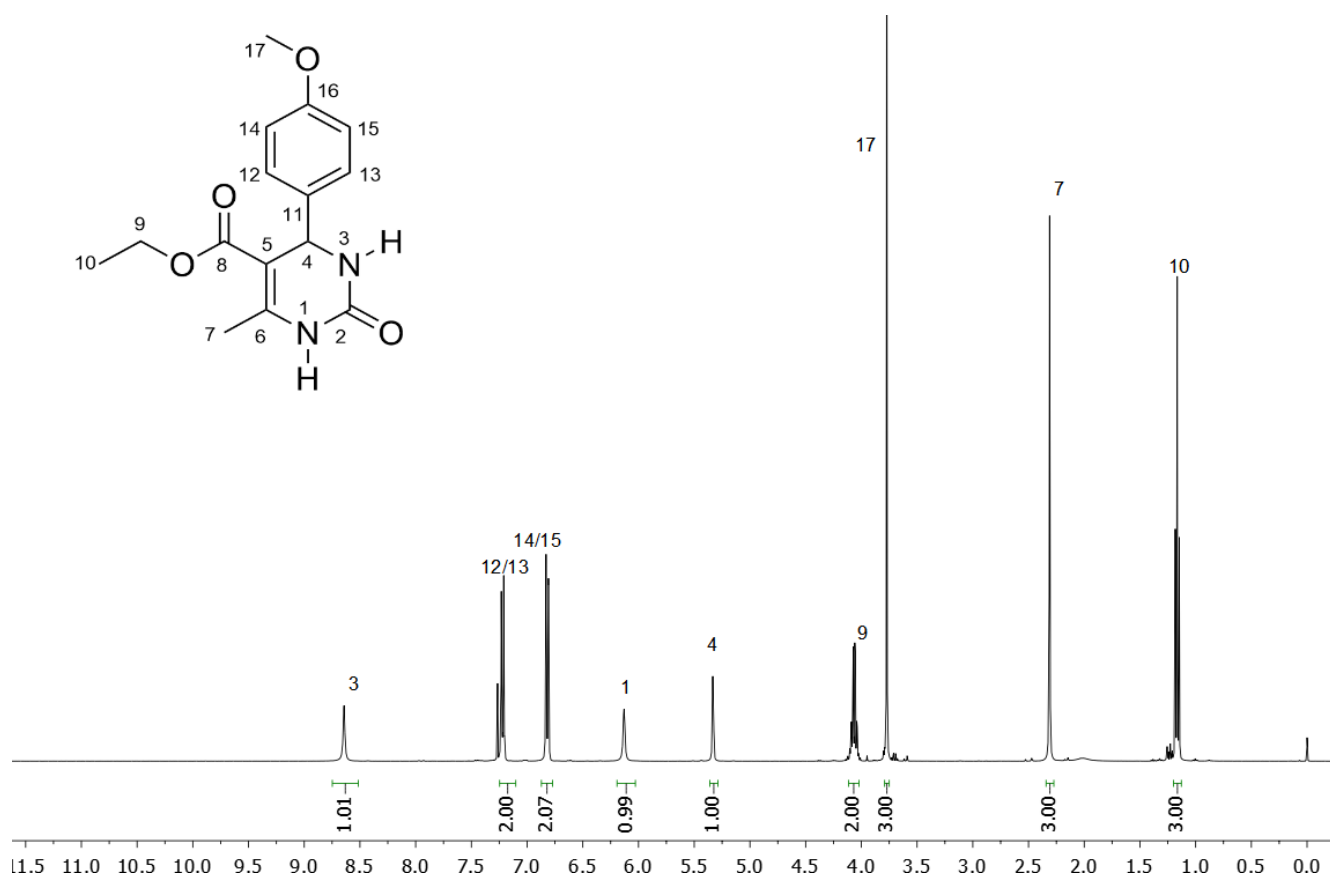


Figura S17 - Espectro de H¹ RMN (400 MHz, CDCl₃) do composto **4i**

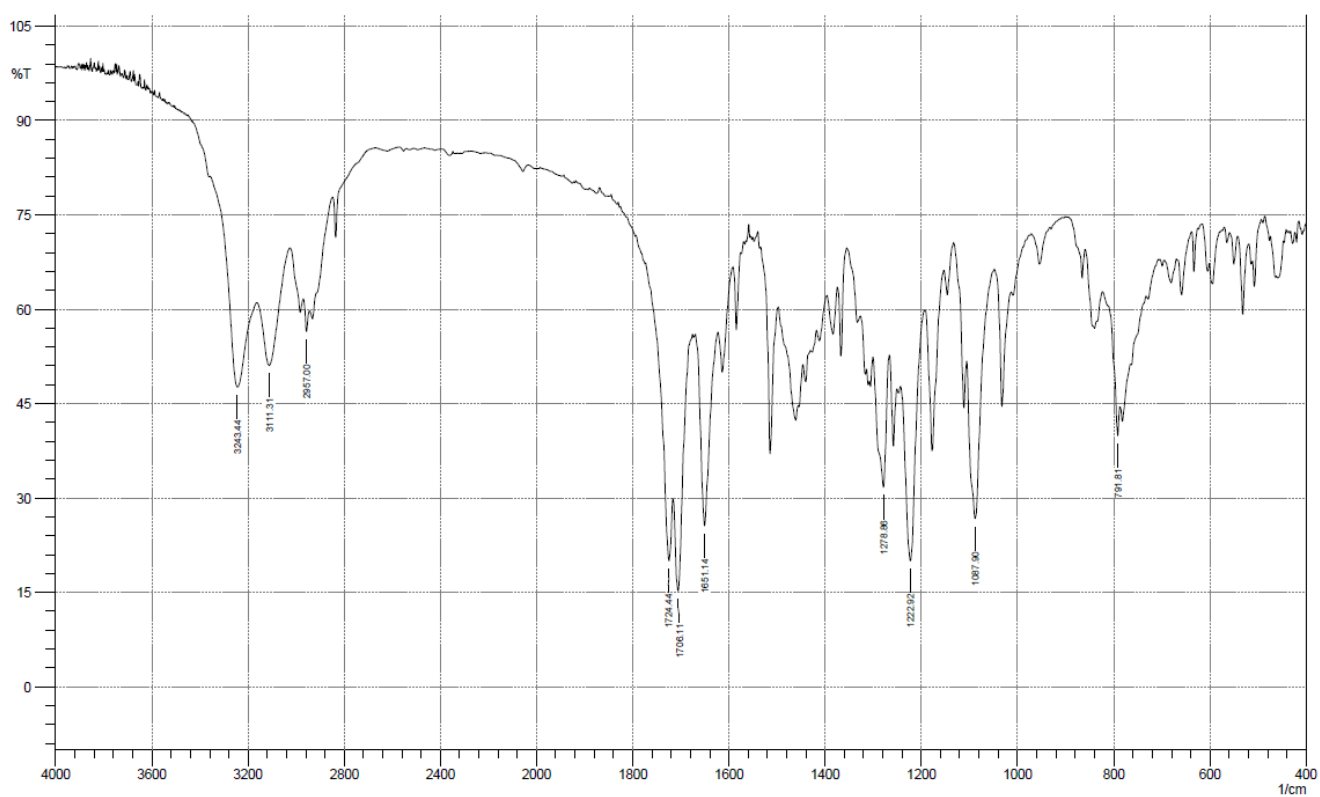


Figura S18 - Espectro no infravermelho (ATR) do composto **4i**



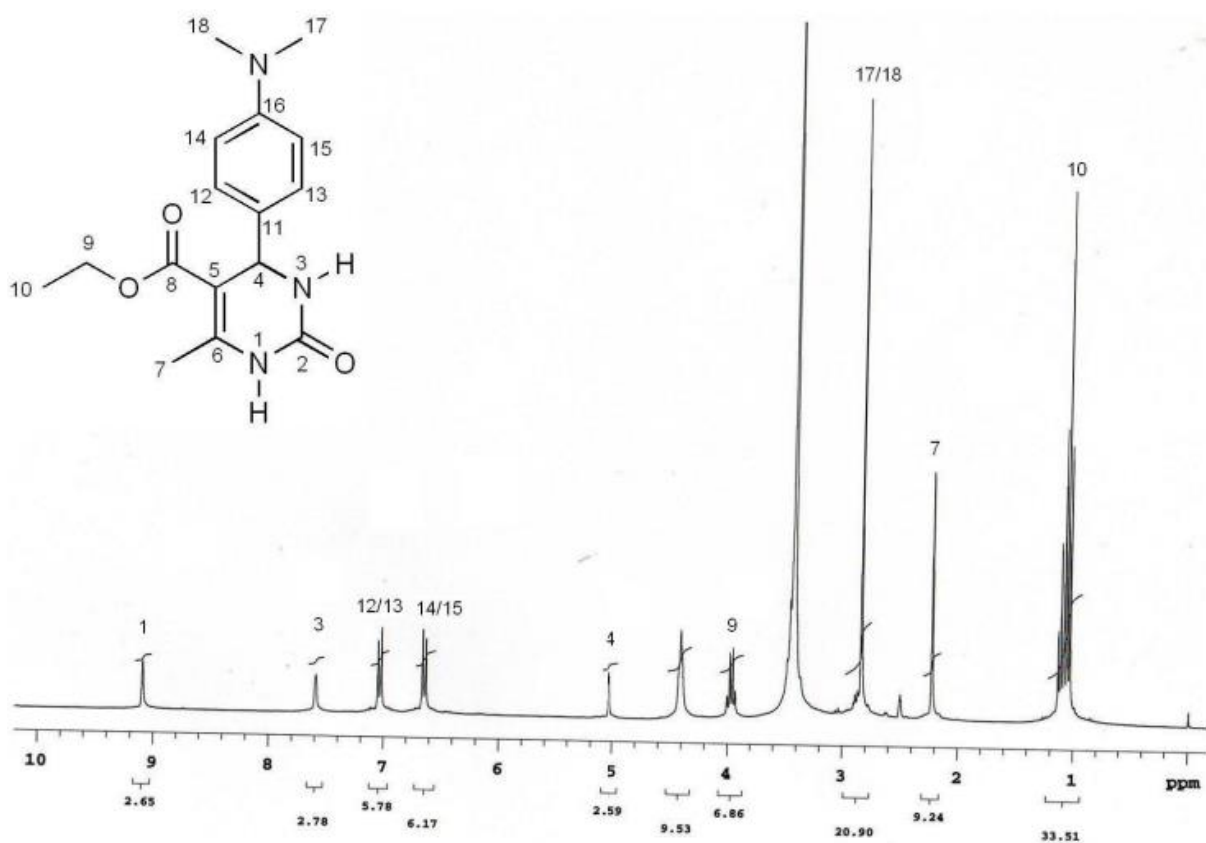


Figura S21 - Espectro de H¹ RMN (300 MHz, DMSO-d₆) do composto **4k**

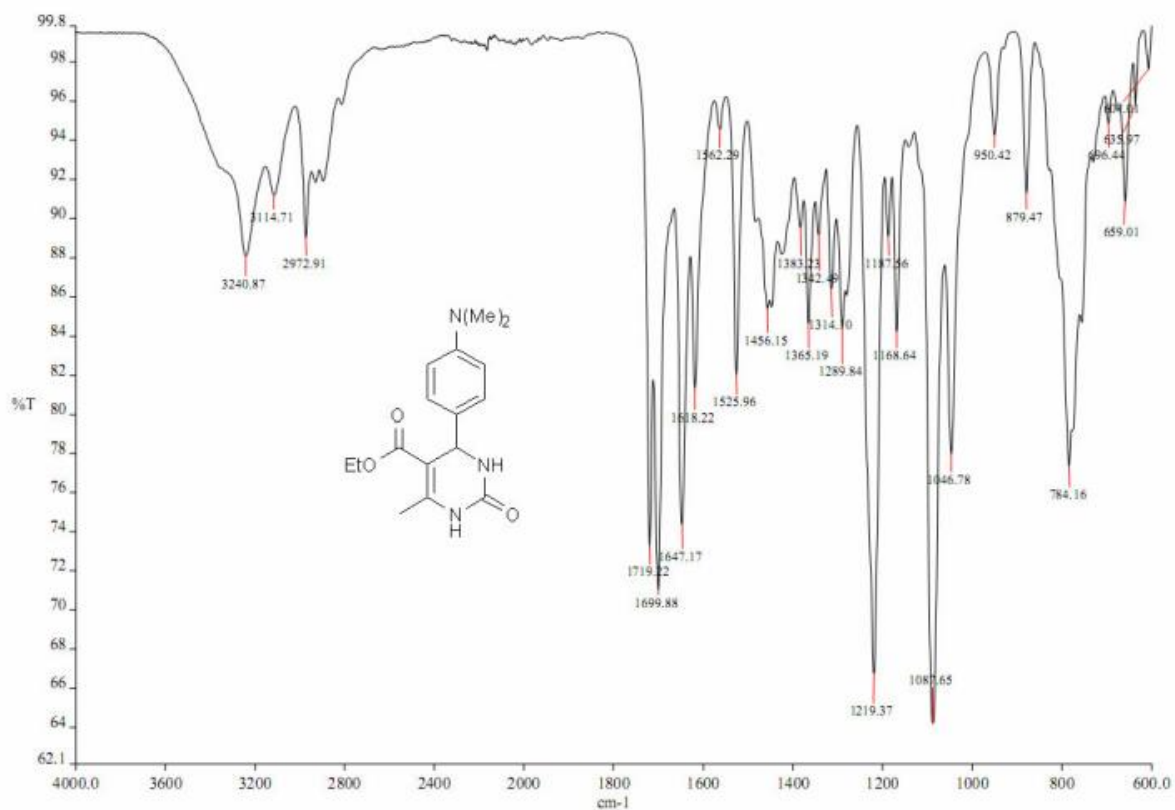


Figura S22 - Espectro no infravermelho (ATR) do composto **4k**



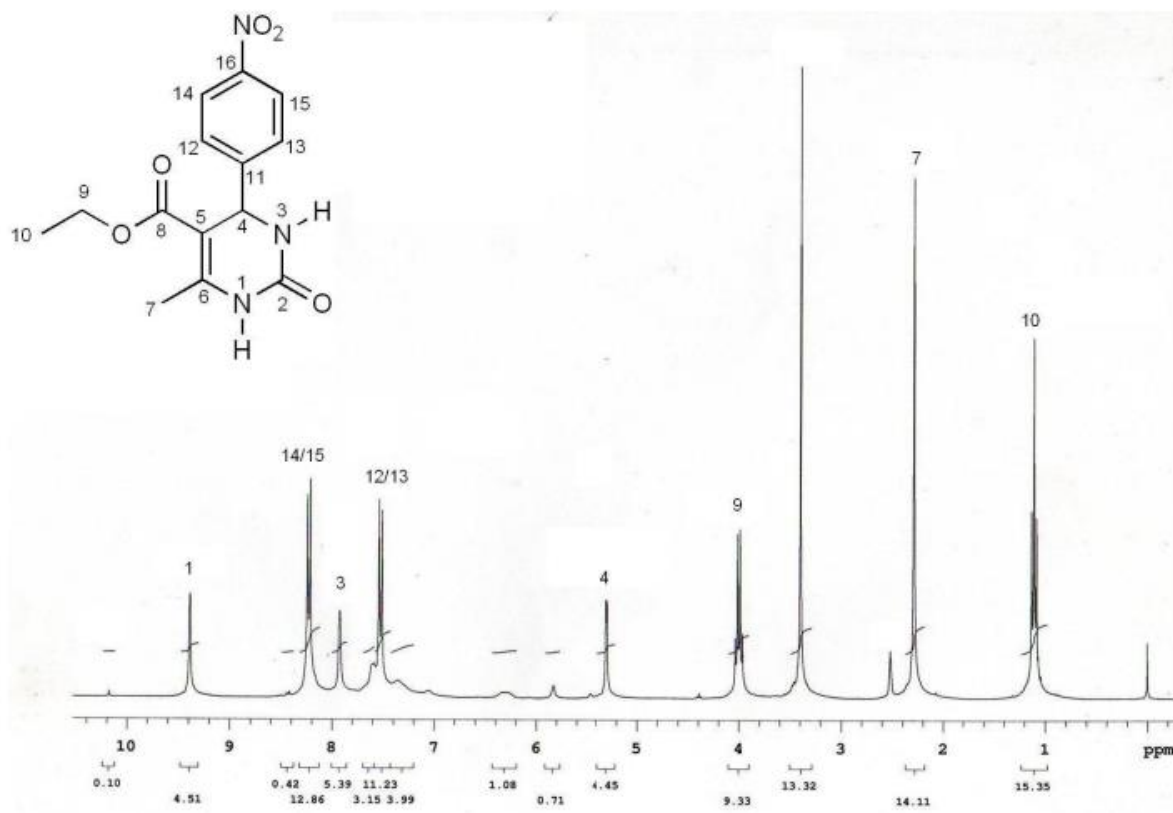


Figura S23 - Espectro de H^1 RMN (300 MHz, DMSO- d_6) do composto **4I**

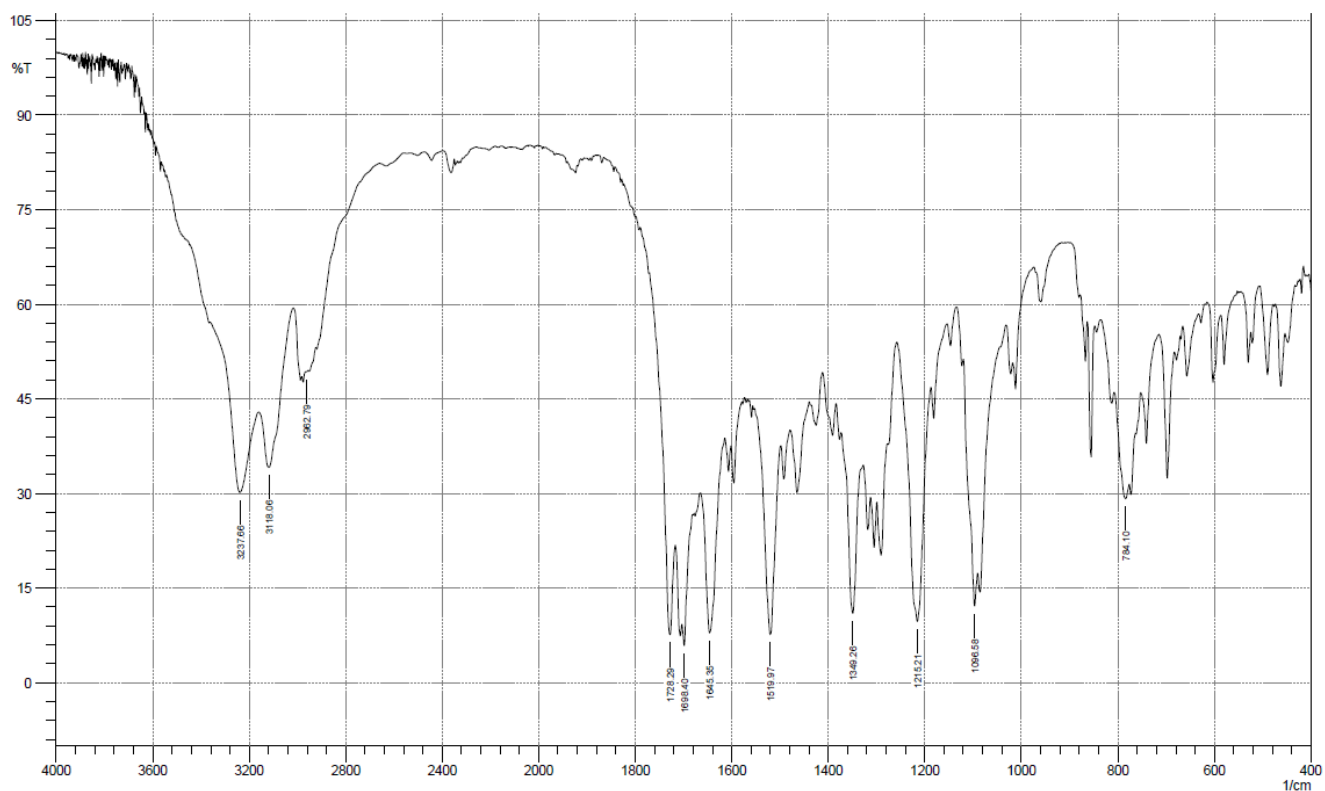


Figura 24 - Espectro no infravermelho (ATR) do composto **4I**

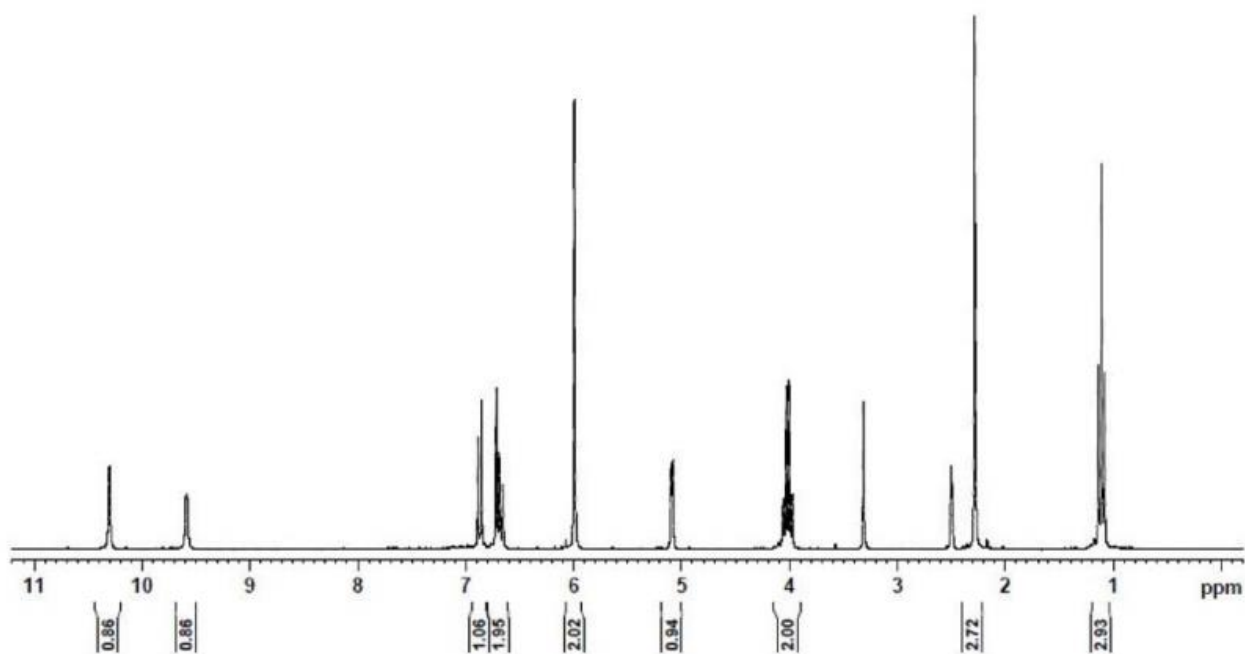


Figura S25 - Espectro de H¹ RMN (250MHz, DMSO-d₆) do composto **4m**

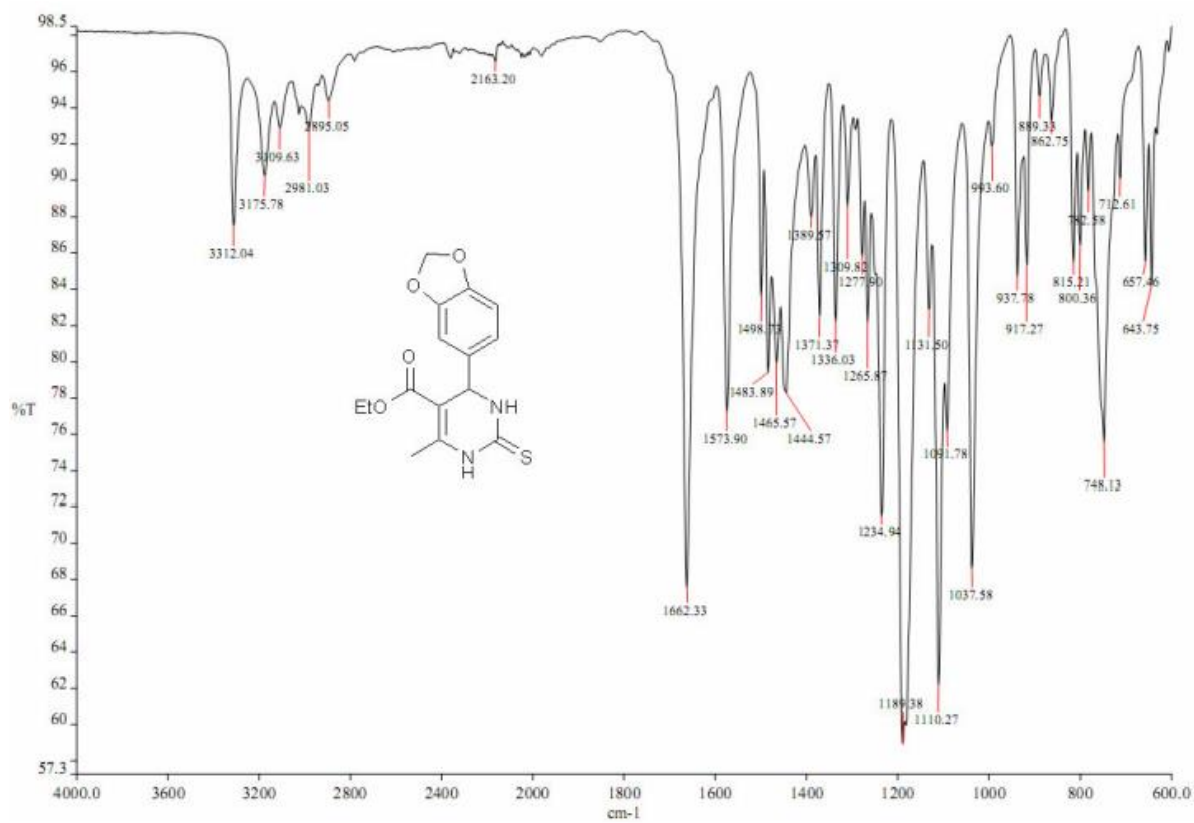


Figura 26 - Espectro no infravermelho (ATR) do composto **4m**



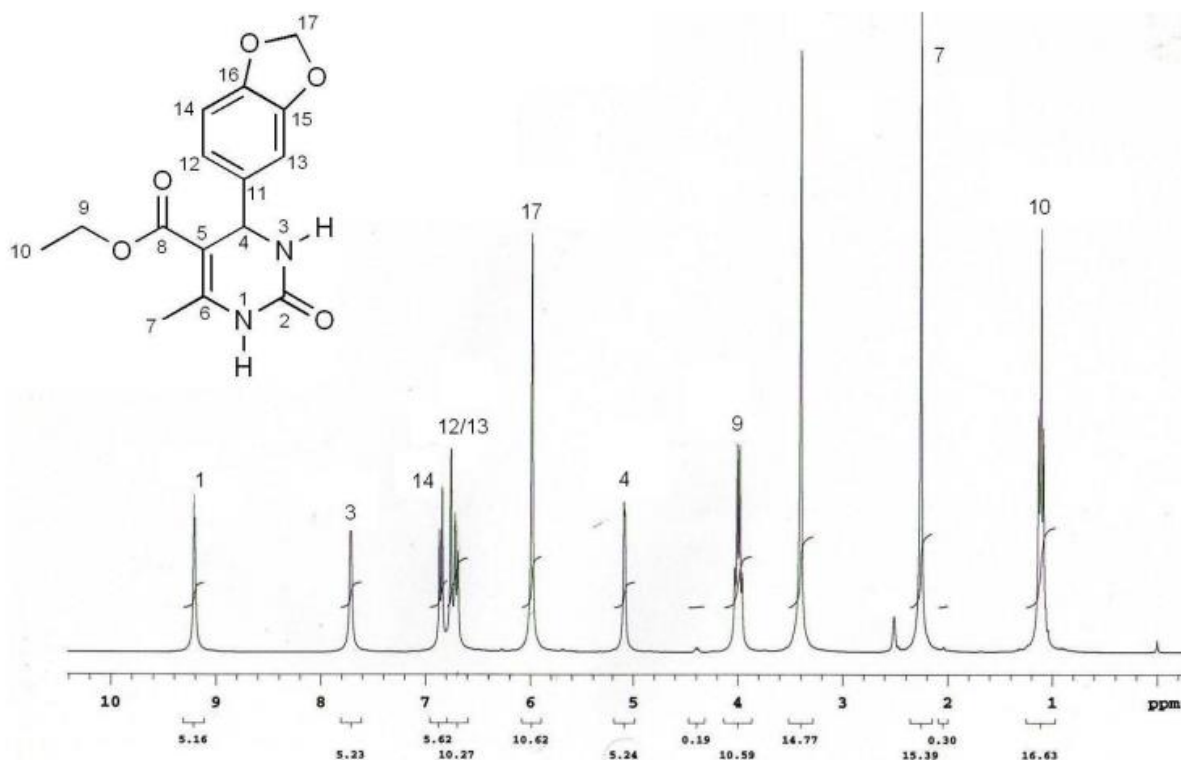


Figura S27 - Espectro de H¹ RMN (300 MHz, DMSO-d₆) do composto **4n**

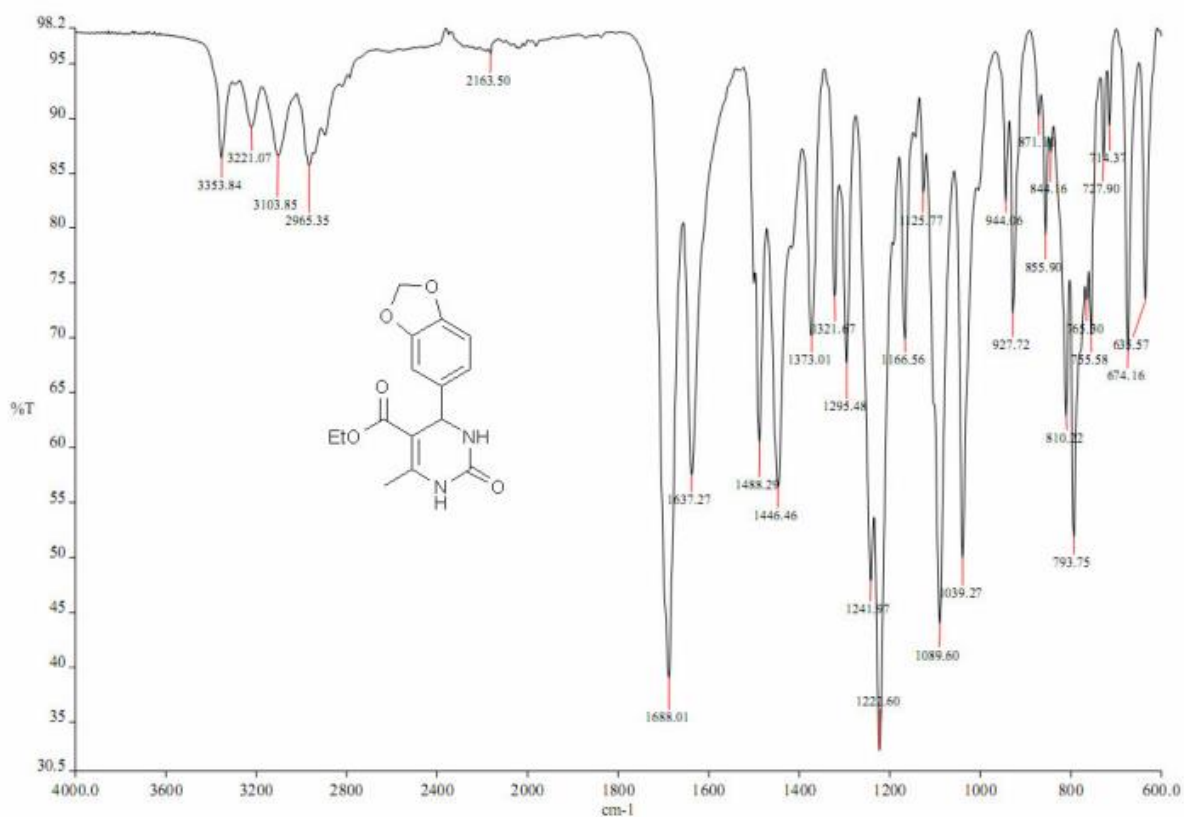


Figura S28 - Espectro no infravermelho (ATR) do composto **4n**

